

Journée sécurité numérique _ GDR SoC-SiP

DE LA RECHERCHE À L'INDUSTRIE



**MISE EN ŒUVRE
D'UNE MÉTHODE DE DÉTECTION
DE « TROJANS » MATÉRIELS
SUR CIRCUITS AES.**

Exurville Ingrid

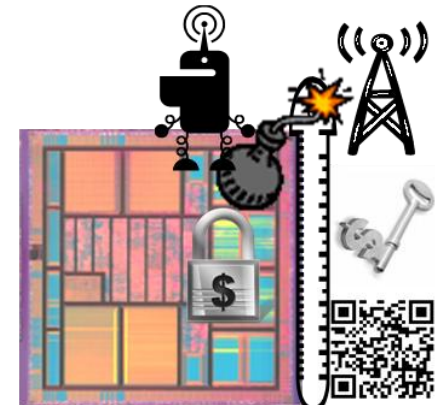
Jacques Fournier & Jean Max Dutertre

INSPIRING INNOVATION | INNOVANTE PAR TRADITION



27/11/2012

- Introduction
- Méthode de caractérisation d'un Cheval de Troie Matériel par mesure de temps de chemin de propagation
- Mesure des temps de chemin de propagation sur l'AES
- Mise en œuvre, premières observations
- Perspectives



Introduction

Méthode de caractérisation d'un CTM par mesure
de temps de chemin de propagation

Mesure des temps de chemin de propagation sur
l'AES

Mise en œuvre, premières observations

Perspectives

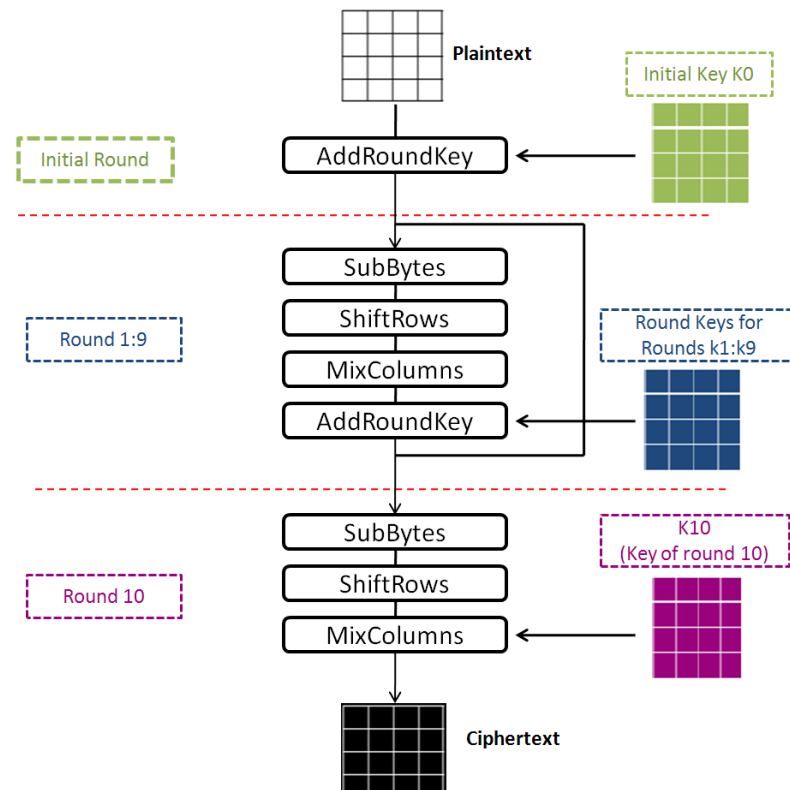
Cheval de Troie Matériel

Ajout / modification d'un circuit pouvant transmettre des informations confidentielles à l'insu de l'utilisateur, désactiver/détruire certains composants de la puce...

Approche d'une mesure de temps de chemin de propagation des bits d'un algorithme de chiffrement symétrique par blocs représentés en matrices 4*4 : l'AES.

Hypothèse de travail

L'ajout d'un CTM modifie le temps de propagation des bits.



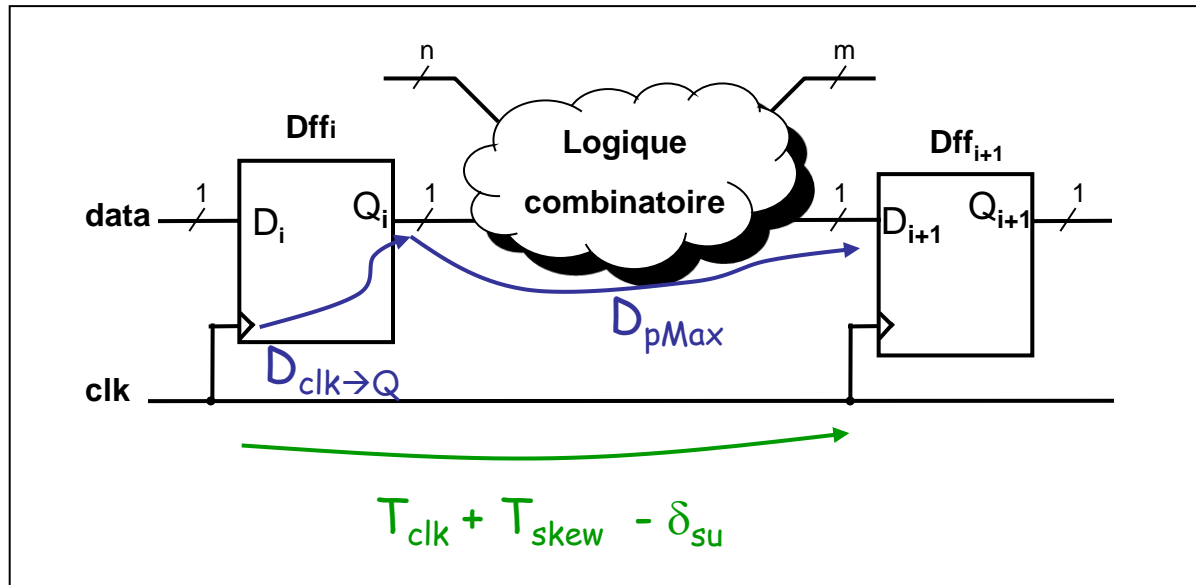
Introduction

Méthode de Caractérisation d'un CTM par mesure de temps de chemin de propagation

Mesure des temps de chemin de propagation sur
l'AES

Mise en œuvre, premières observations

Perspectives

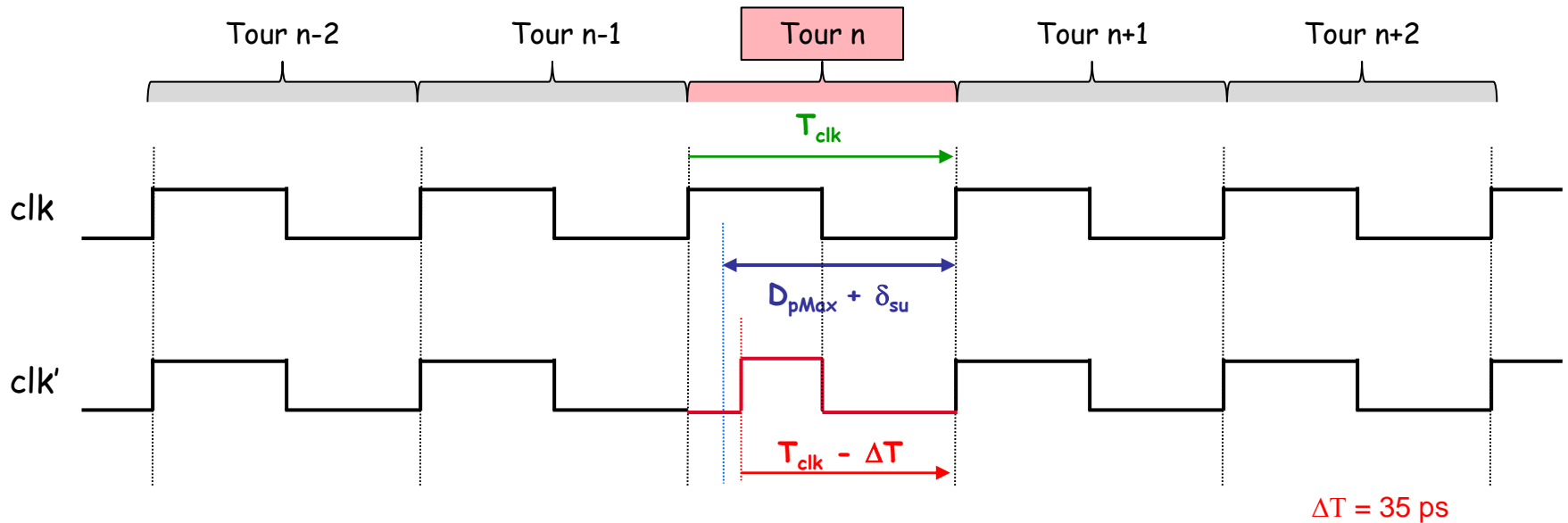


Temps de propagation des données = $D_{clk \rightarrow Q} + D_{pMax}$

Temps requis par les données = $T_{clk} + T_{skew} - \delta_{su}$

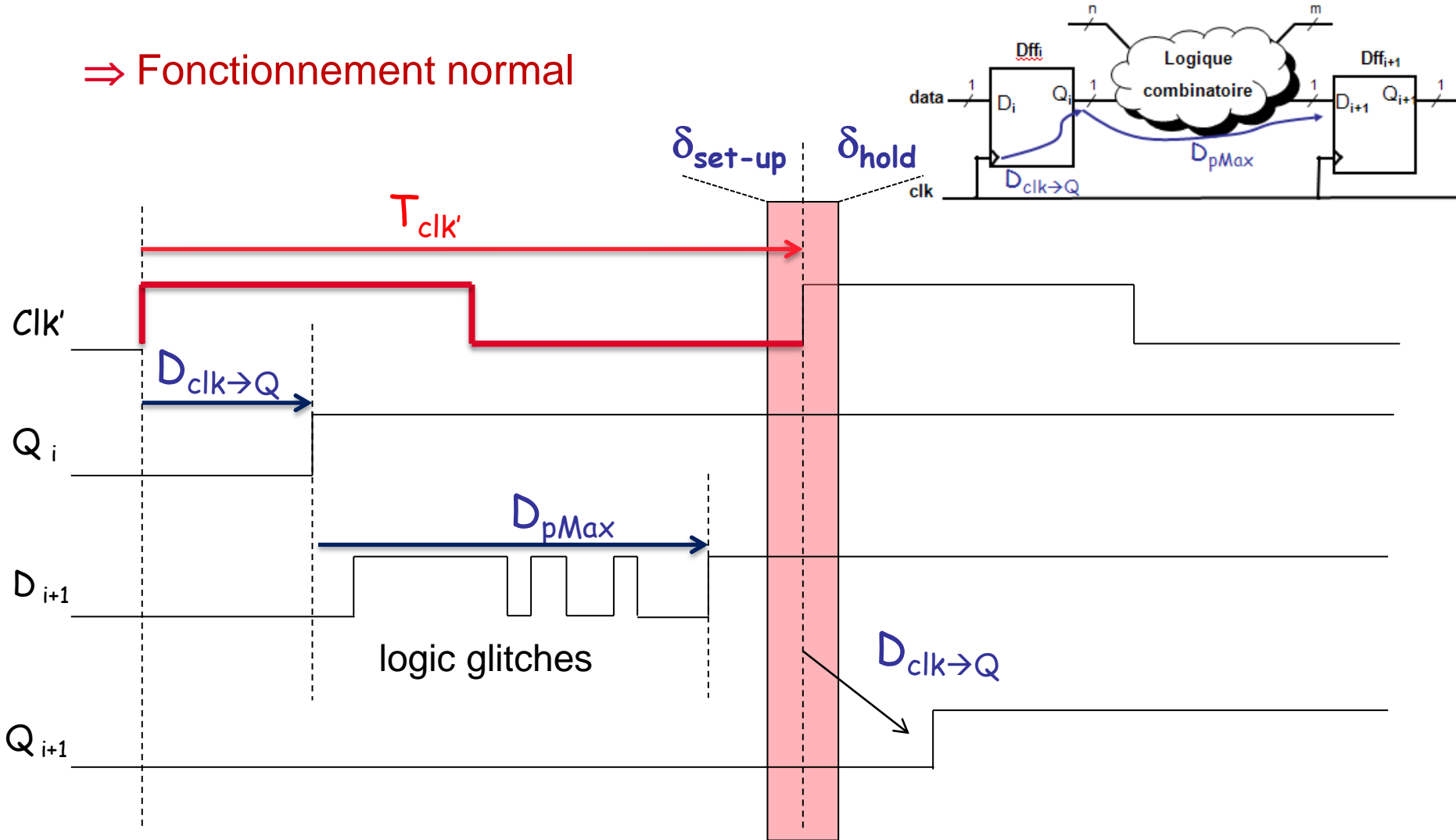
$$\Rightarrow T_{clk} > D_{clk \rightarrow Q} + D_{pMax} - T_{skew} + \delta_{su}$$

- Le « glitch » d'horloge est une modification locale d'une période.
- Le choix du cycle d'injection est possible.

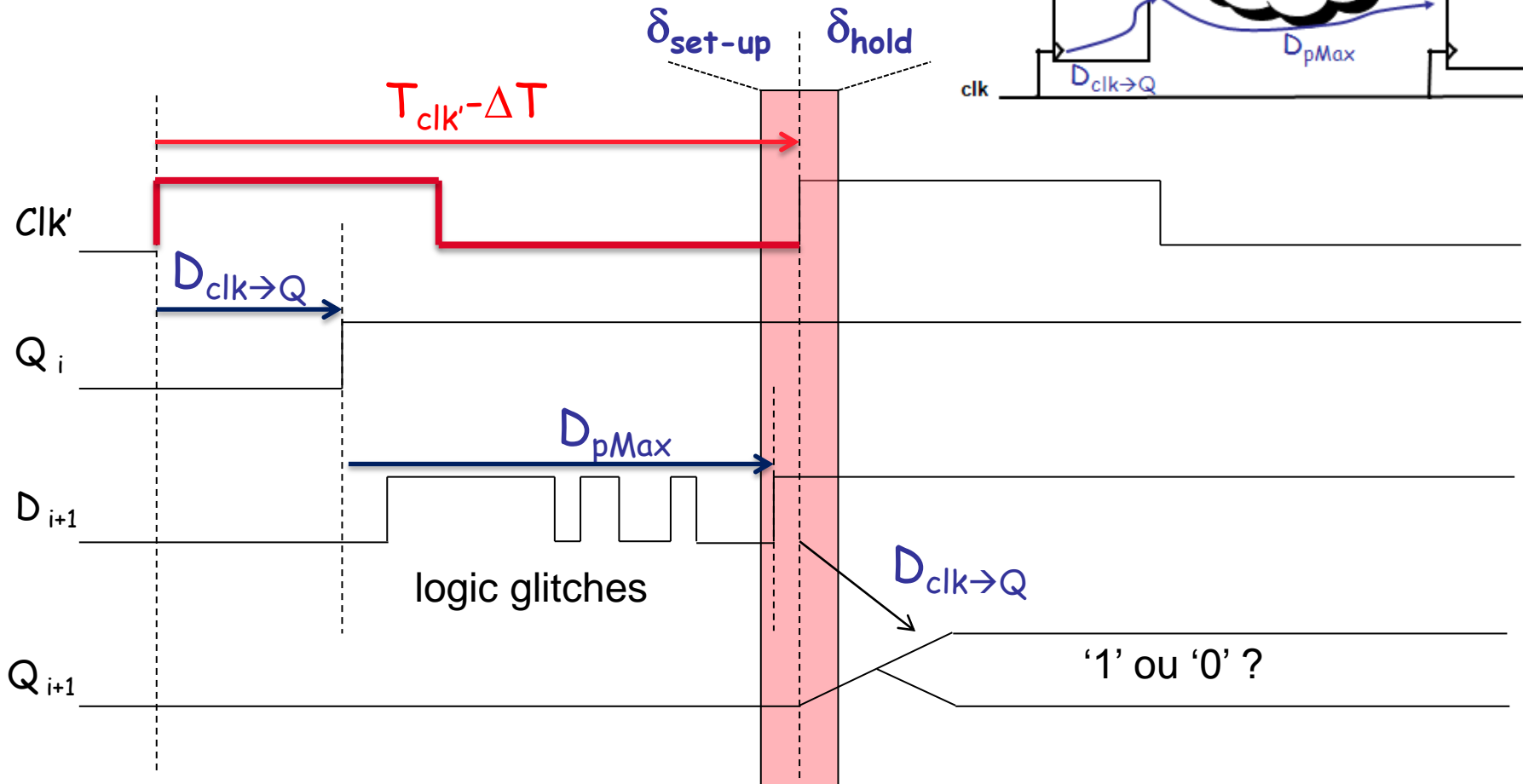
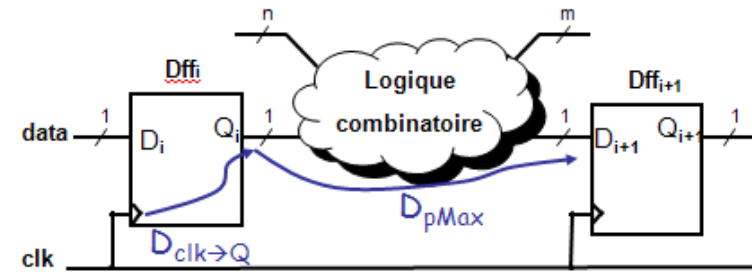


$$T_{clk} > D_{clk \rightarrow Q} + \delta_{su} + D_{pMax} - T_{skew}$$

⇒ Fonctionnement normal

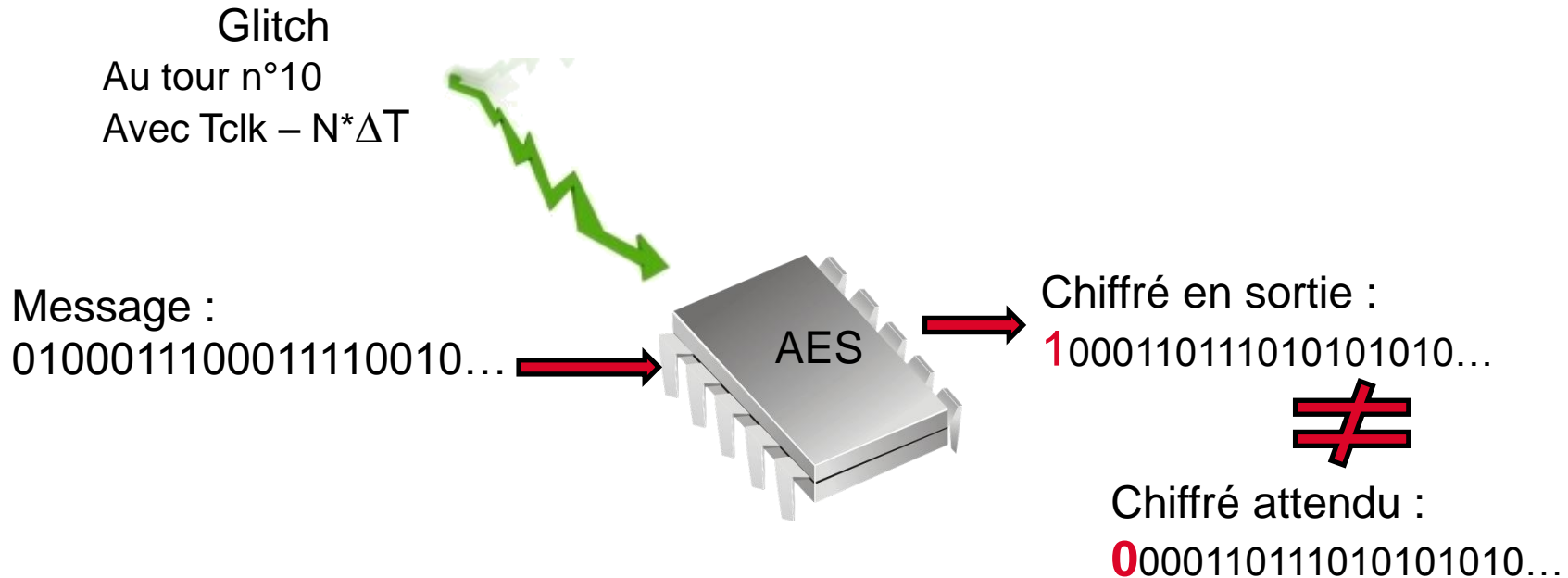


⇒ Violation du temps de setup



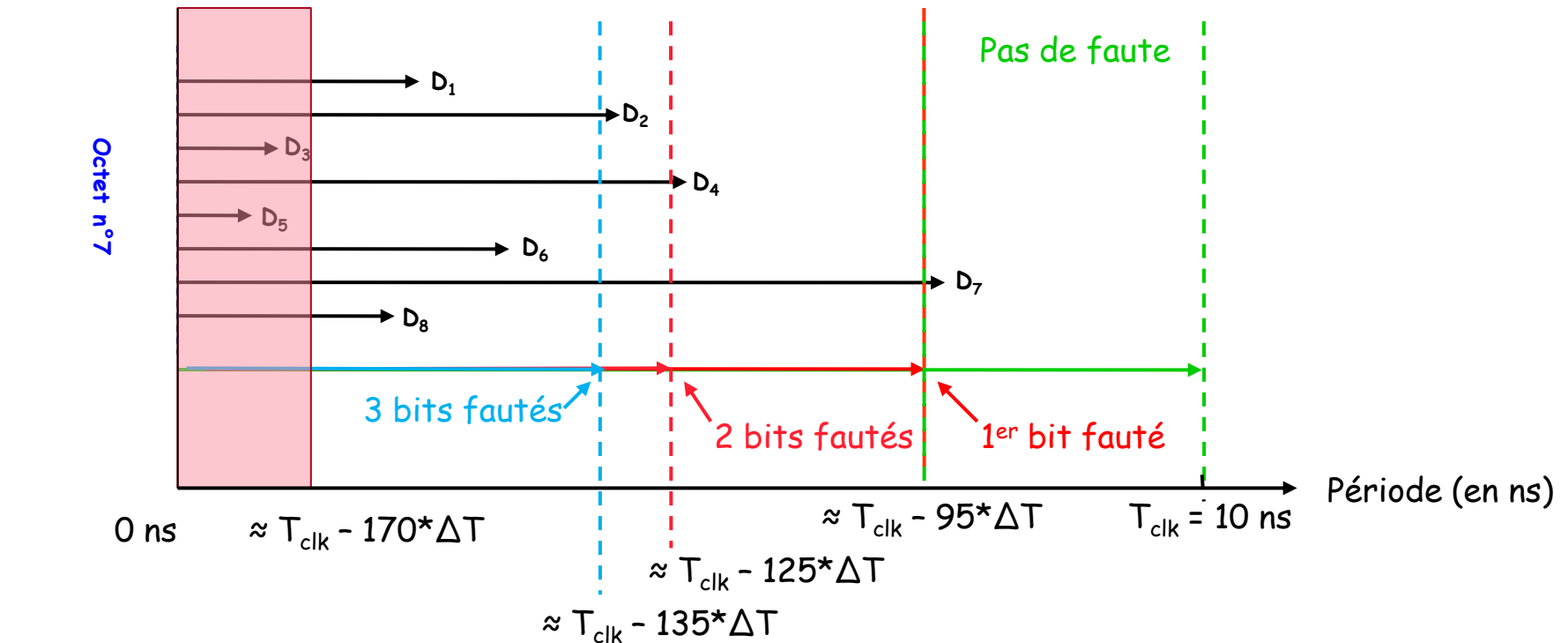
⇒ Métastabilité (non-déterministe)

- Faire une faute revient à faire une mesure du temps de propagation des bits connaissant le nombre de ΔT .

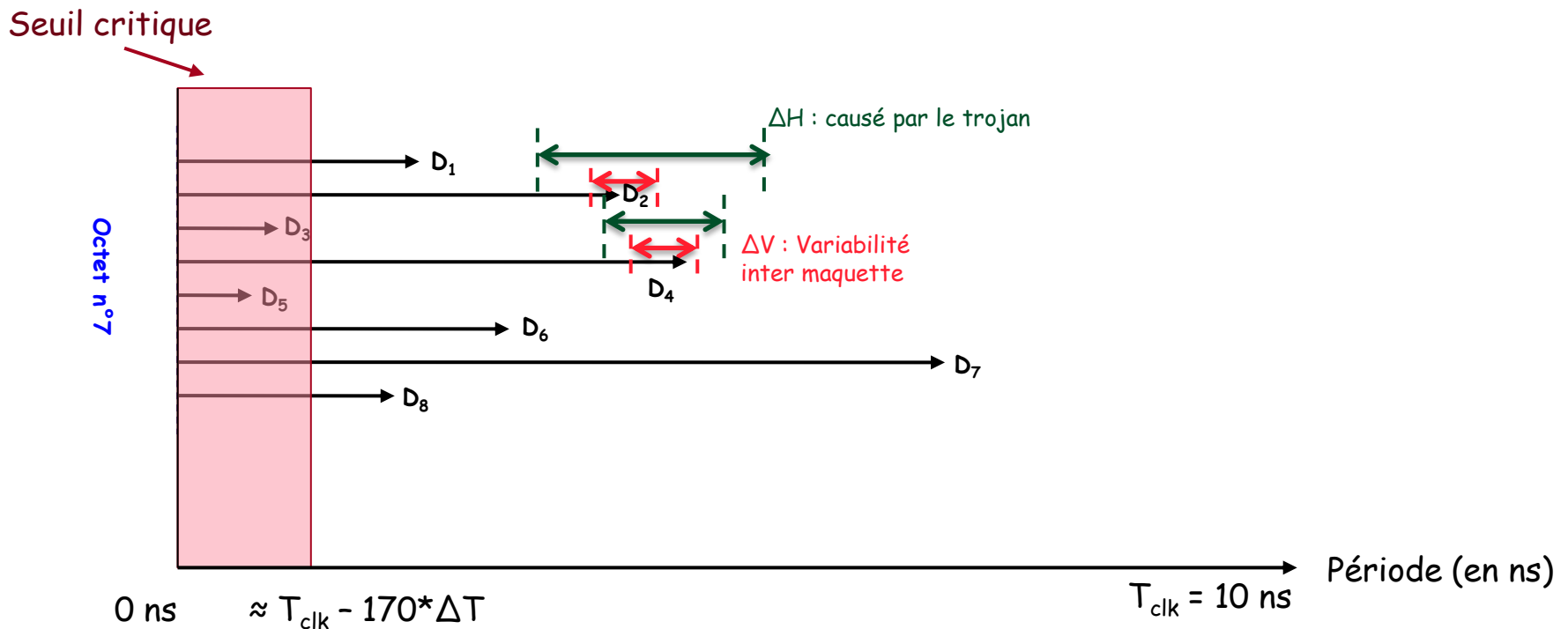


← Diminution de la période par pas de $\Delta T = 35$ ps

Seuil critique

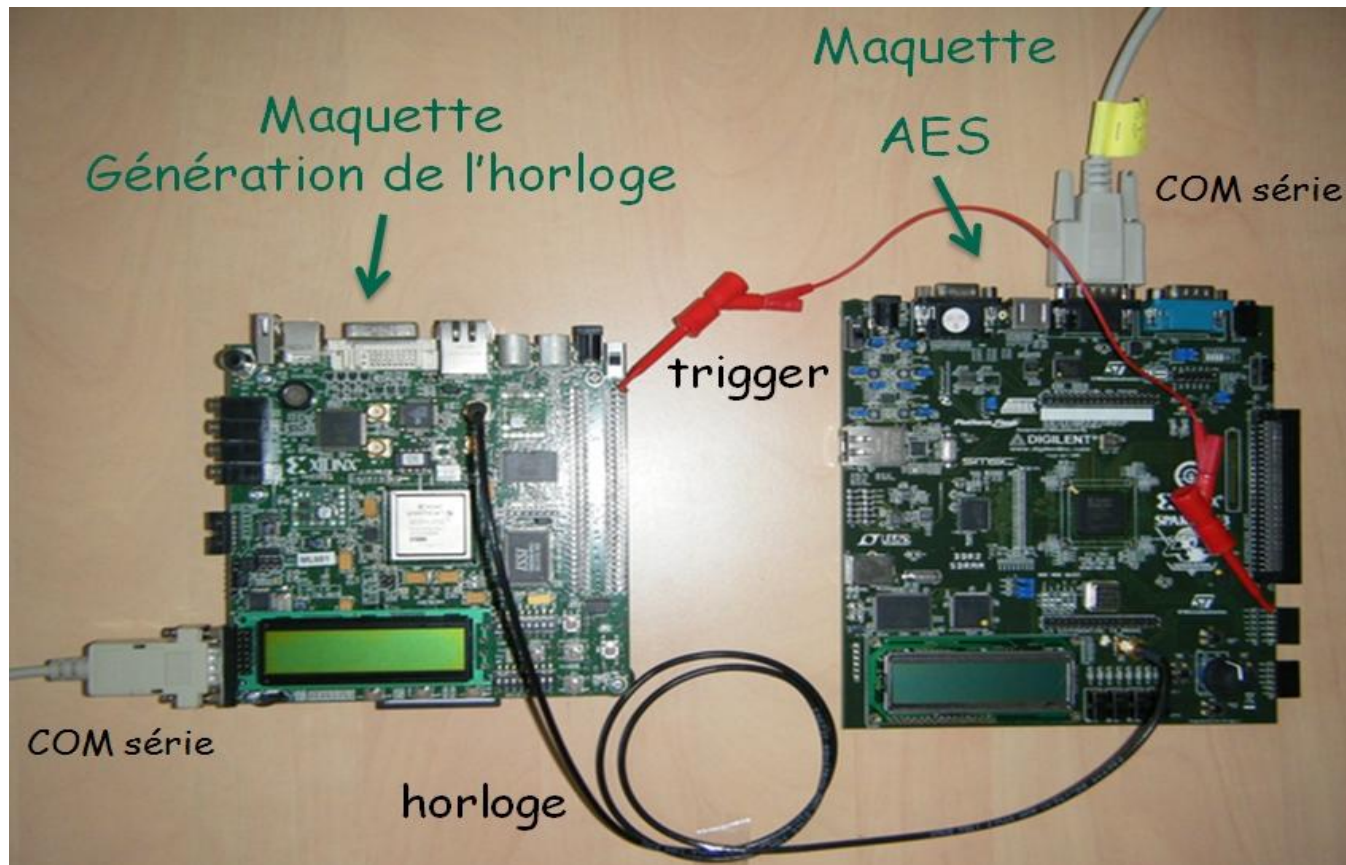


← Diminution de la période par pas de $\Delta T = 35$ ps



- Si $\Delta T \ll \Delta H$: on peut mesurer l'effet du CTM.
- Si $\Delta V \ll \Delta H$: La présence du CTM n'est pas masquée par la variabilité.

- Mise en place du glitch d'horloge :



Introduction

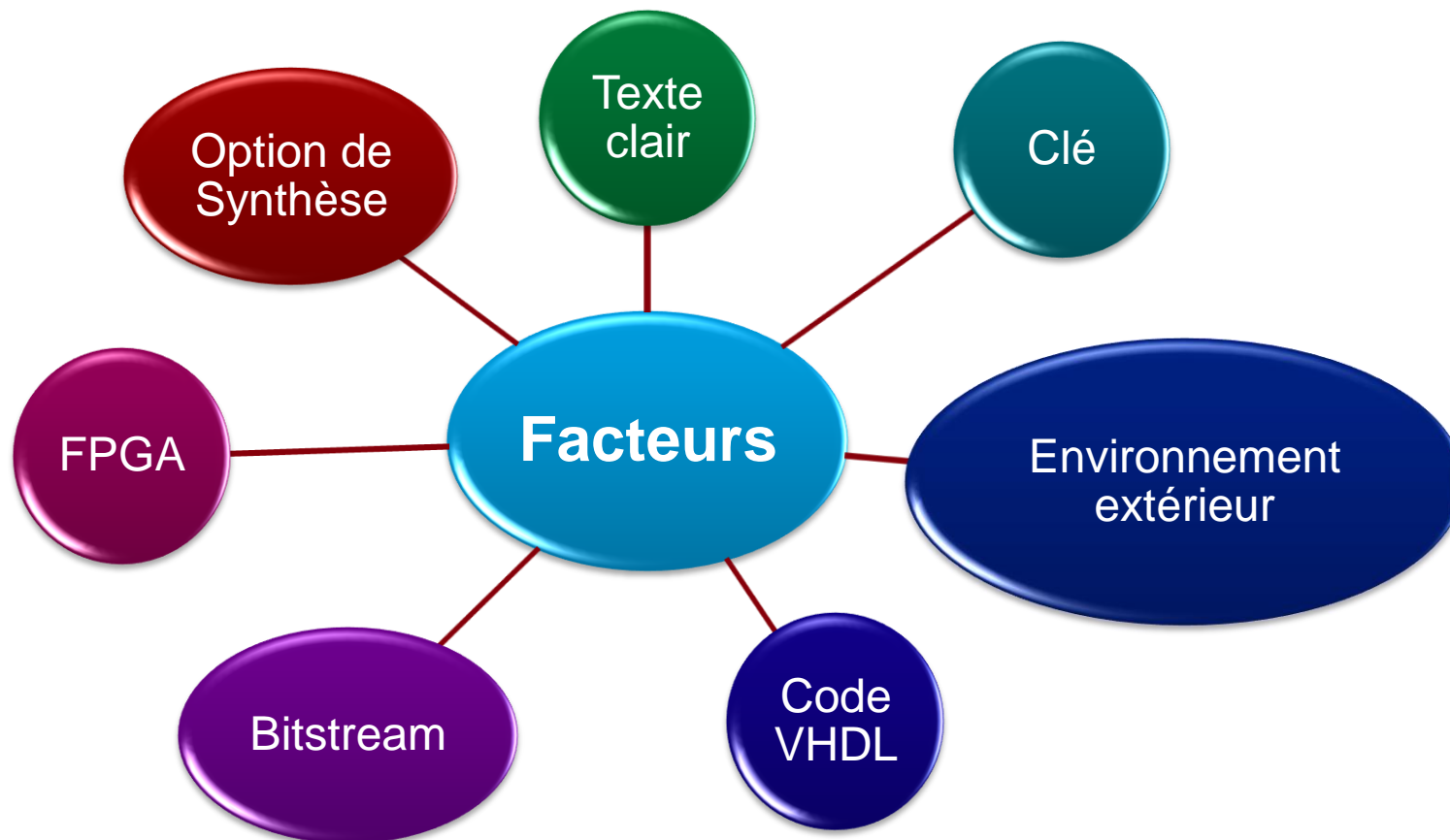
Méthode de caractérisation d'un CTM par mesure
de temps de chemin de propagation

Mesure des temps de chemin de propagation sur l'AES

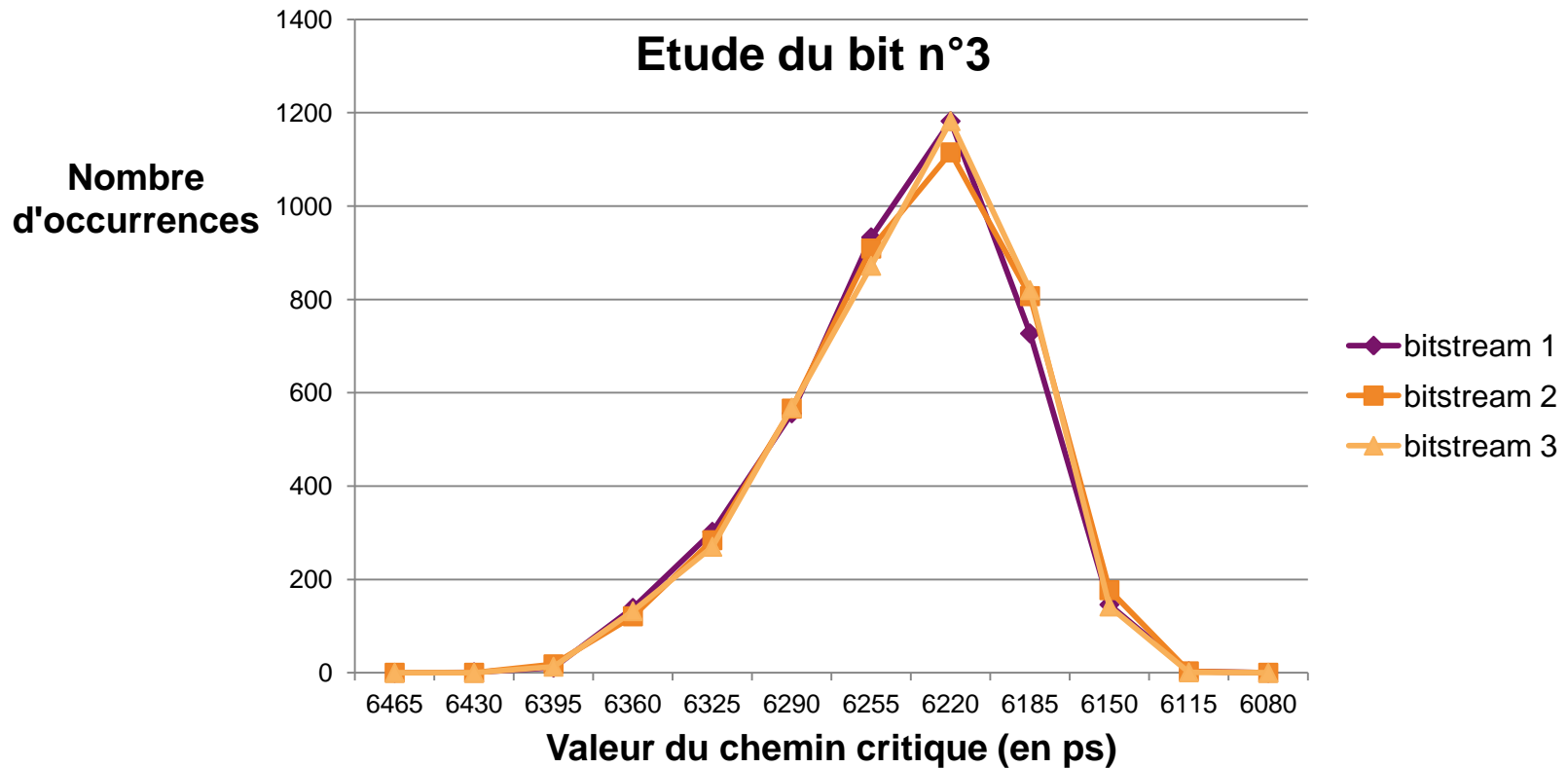
Mise en œuvre, premières observations

Perspectives

INFLUENCE SUR LA MESURE DES TEMPS DE CHEMINS CRITIQUES SUR L'AES



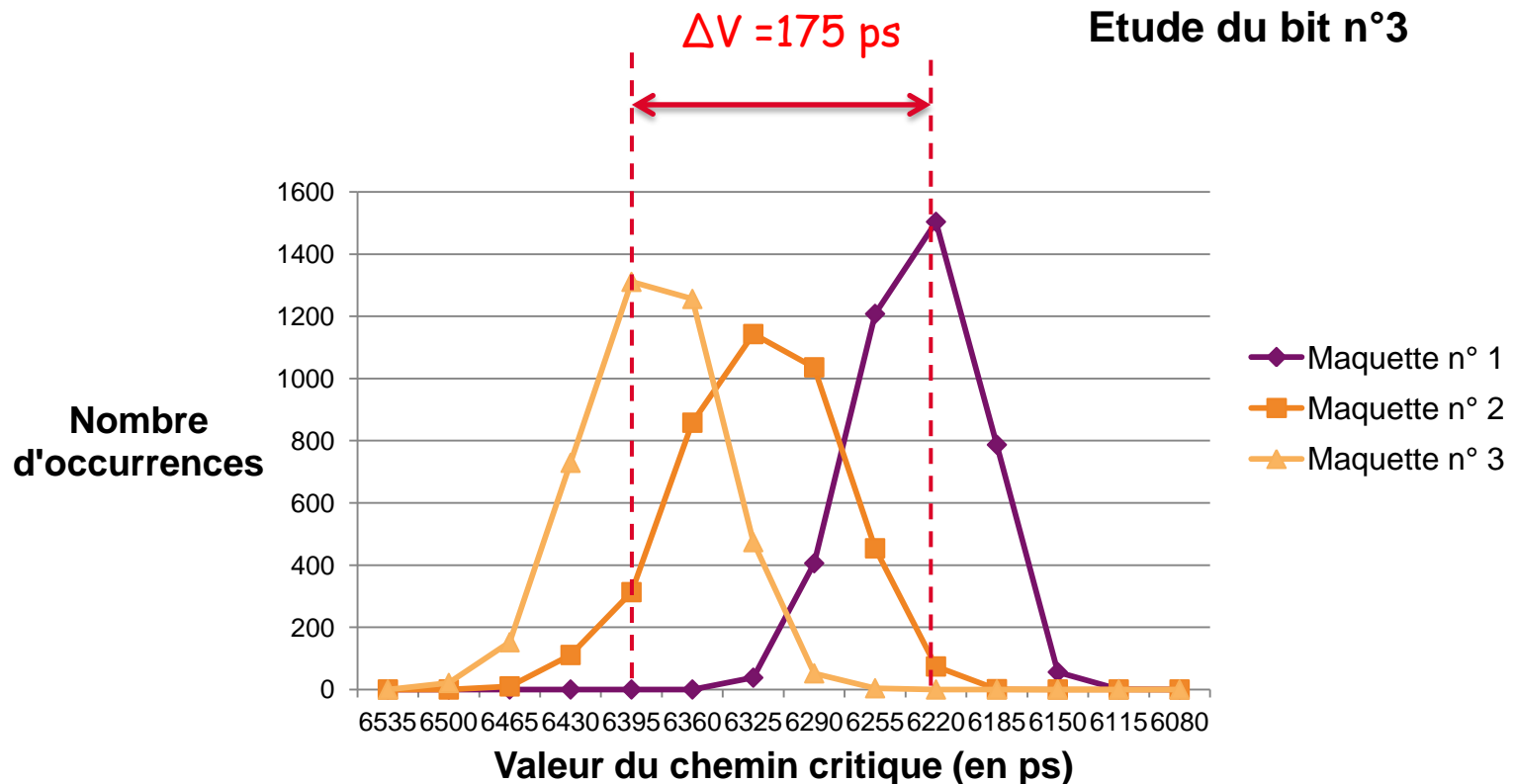
- Trois synthèses distinctes sont effectuées pour en récupérer trois bitstreams.



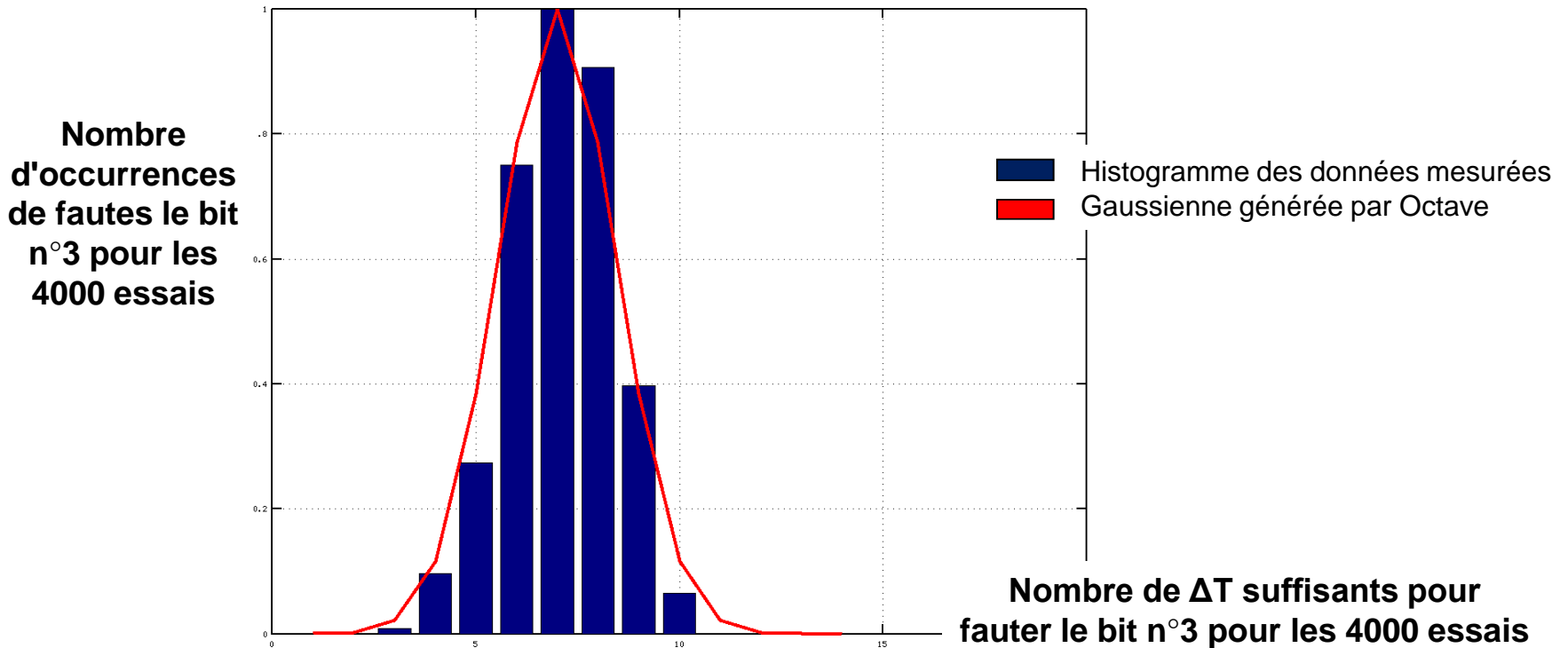
Texte clair et clé constants

ETUDE DE LA VARIABILITE POUR TROIS MAQUETTES FPGA AVEC UN MEME BITSTREAM

- Même code, même bitstream, trois maquettes
- Texte clair et clé constants.

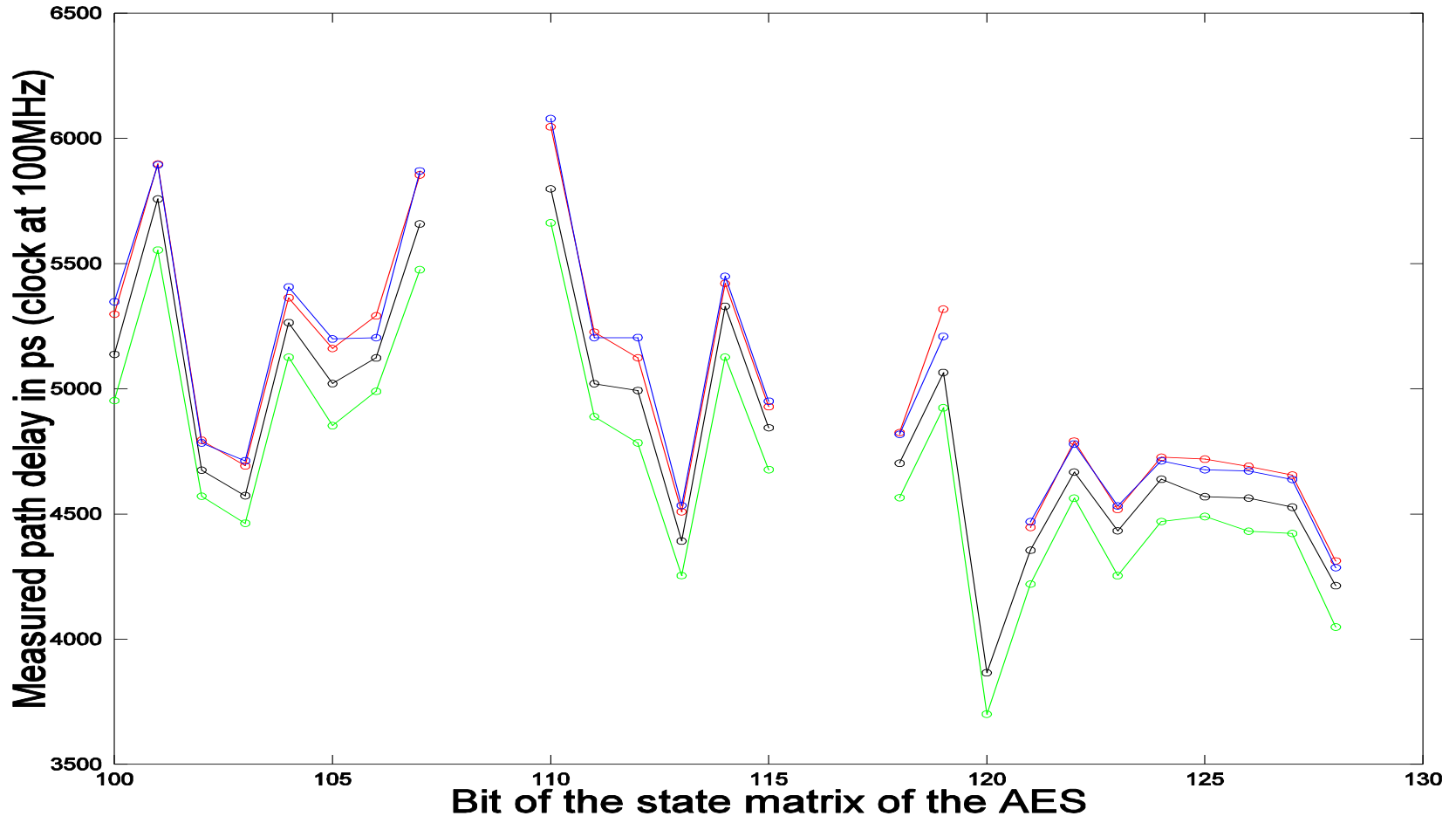


➤ Assimilation à une Gaussienne



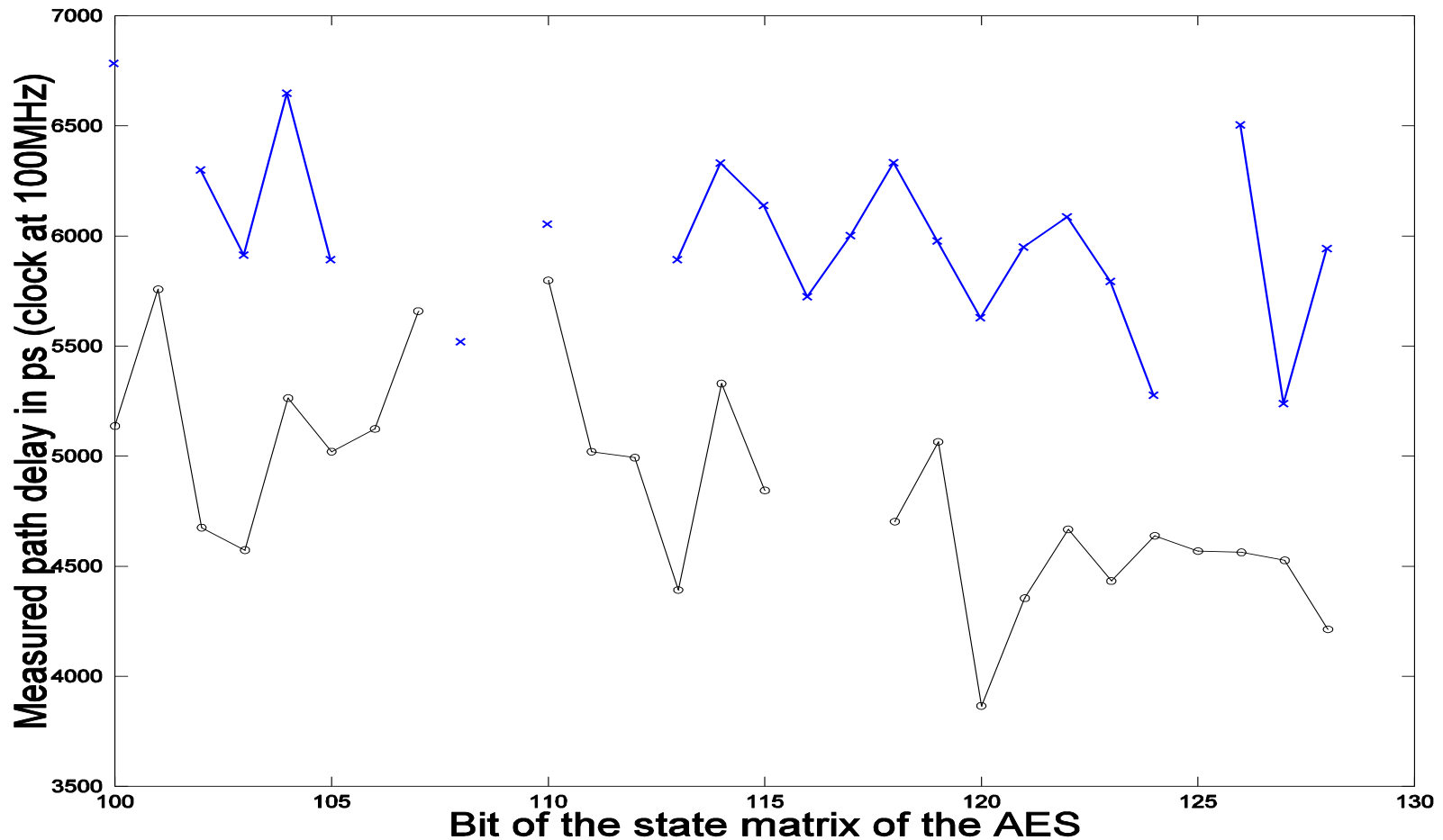
Cette méthode permet une certaine formalisation de la base de données des valeurs, et ainsi manipuler les données plus facilement.

Comparaison des temps de propagation pour quatre maquettes
pour les bits [100-128]



Comparaison option de synthèse « Keep hierarchy » pour les bits [100-128]

(En noir : sans « Keep hierarchy » , en bleu : avec « Keep hierarchy »)



Introduction

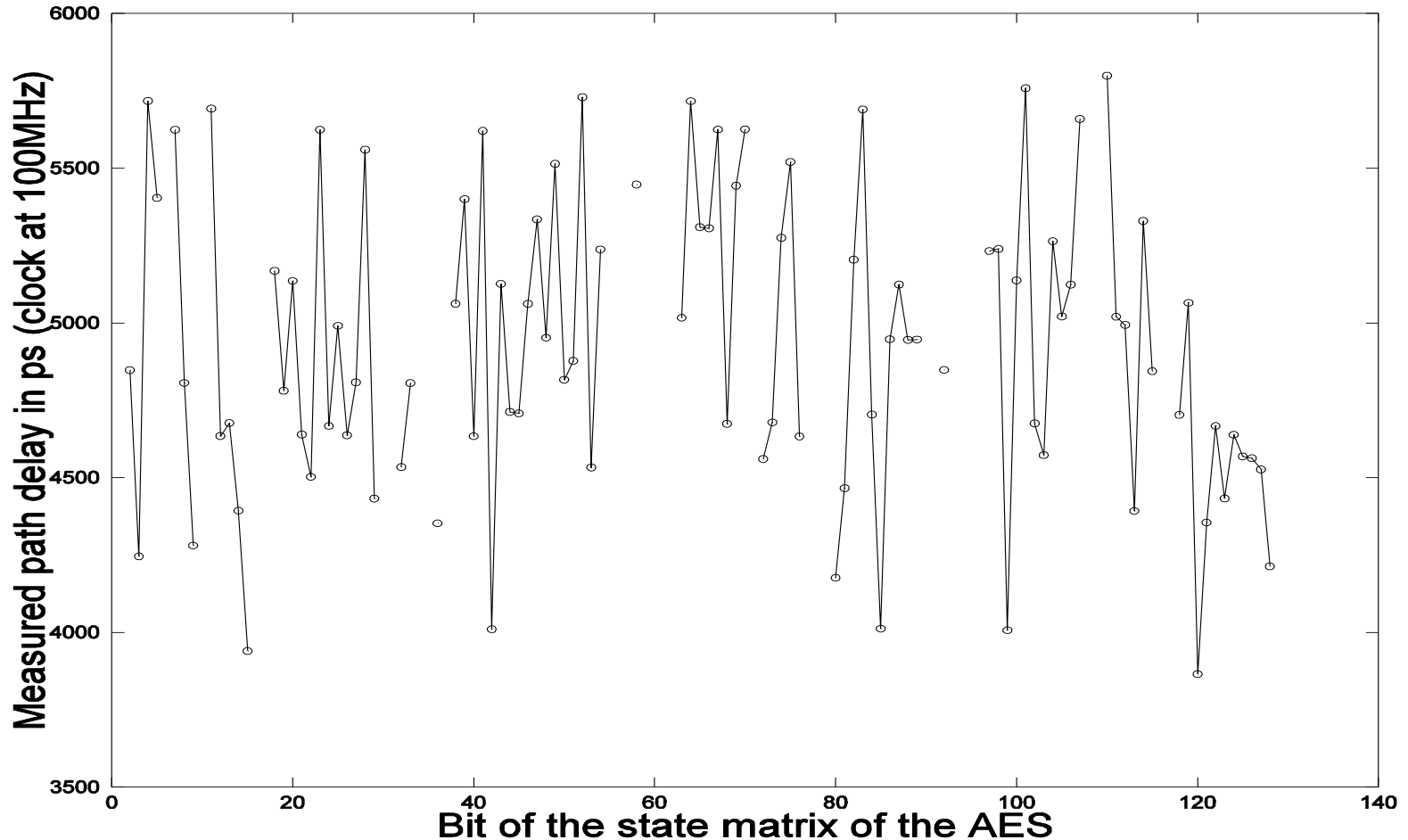
Caractérisation d'un CTM par mesure de temps de chemin de propagation

Mesure des temps de chemin de propagation sur l'AES

Mise en œuvre, premières observations

Perspectives

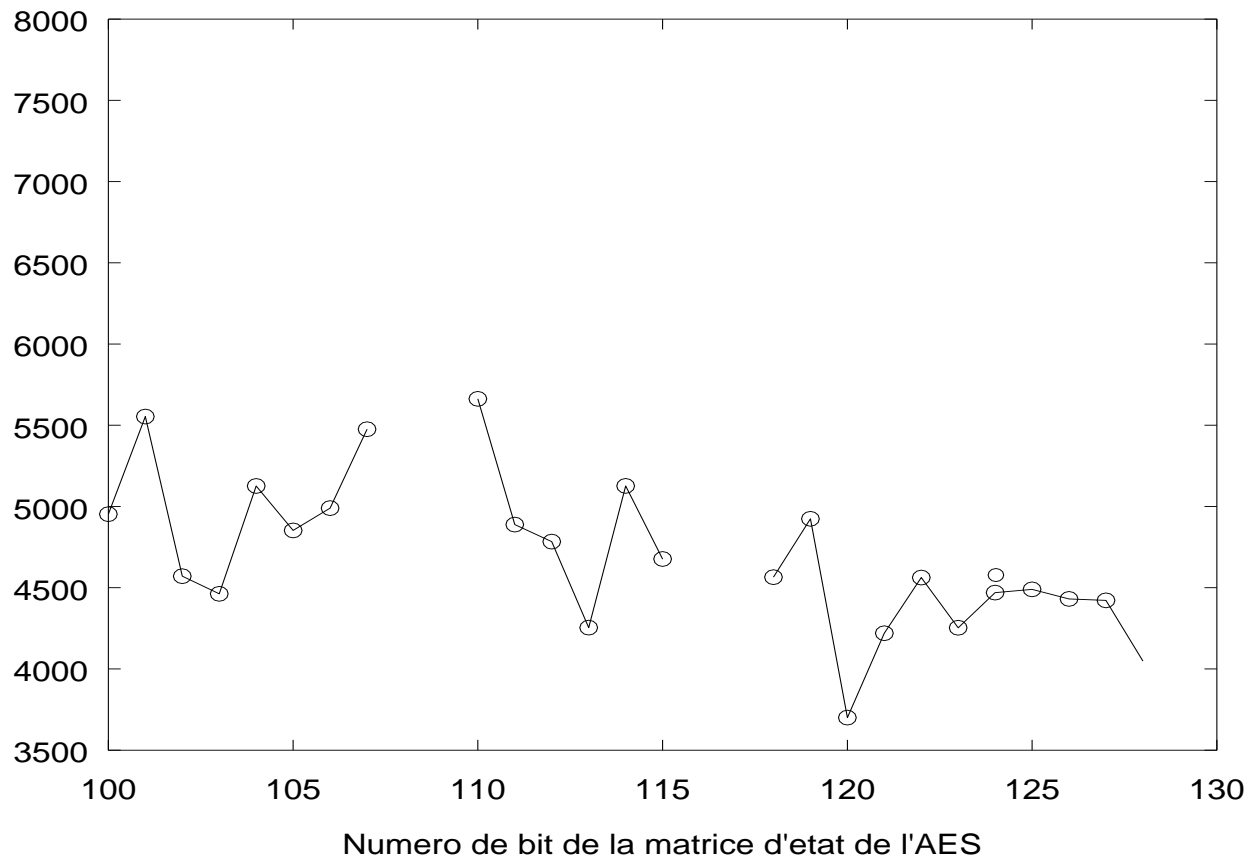
Distribution des temps de propagation des 128 bits de l'AES



Comparaison sans CTM/ CTM n°1/ CTM n°2 pour les bits [100-128]

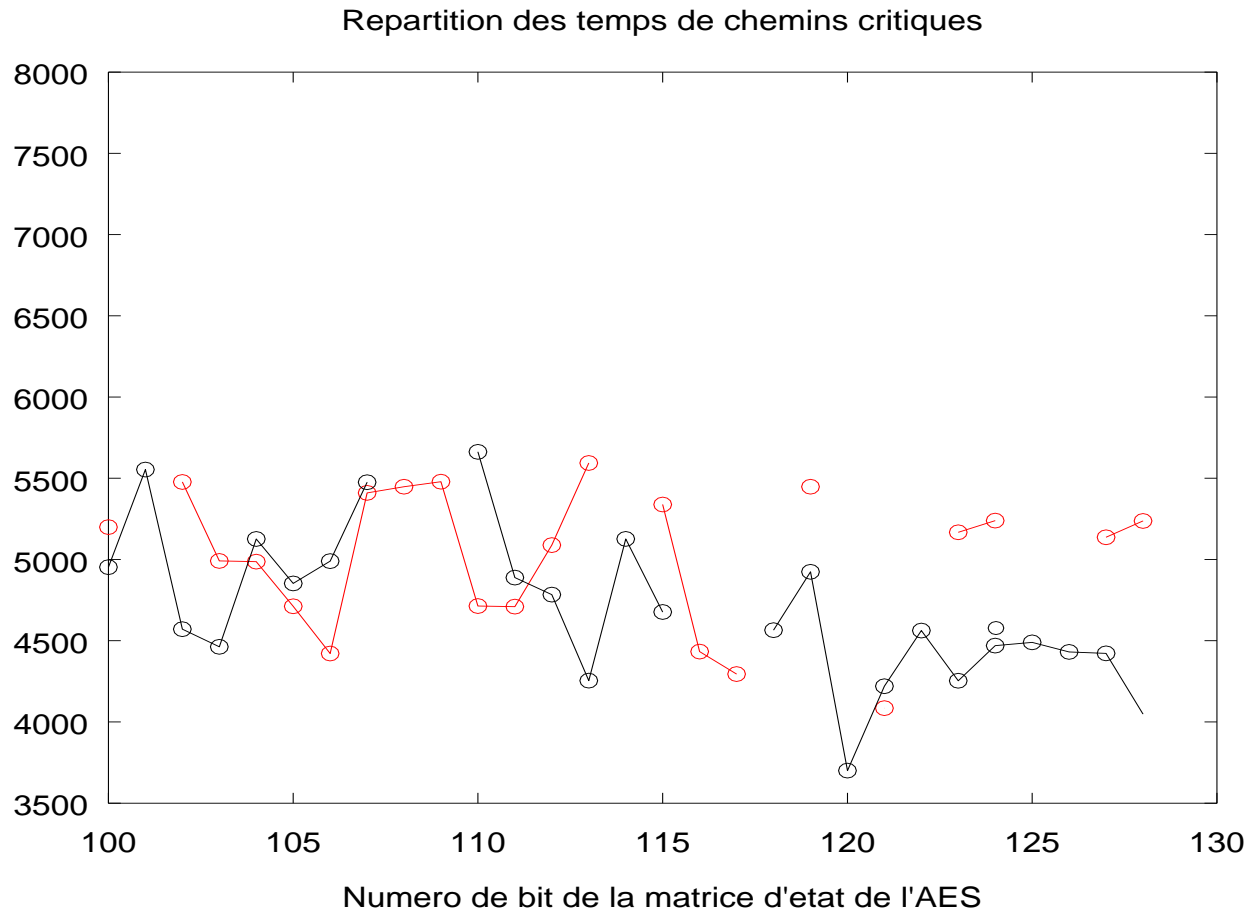
(En noir : sans CTM)

Repartition des temps de chemins critiques



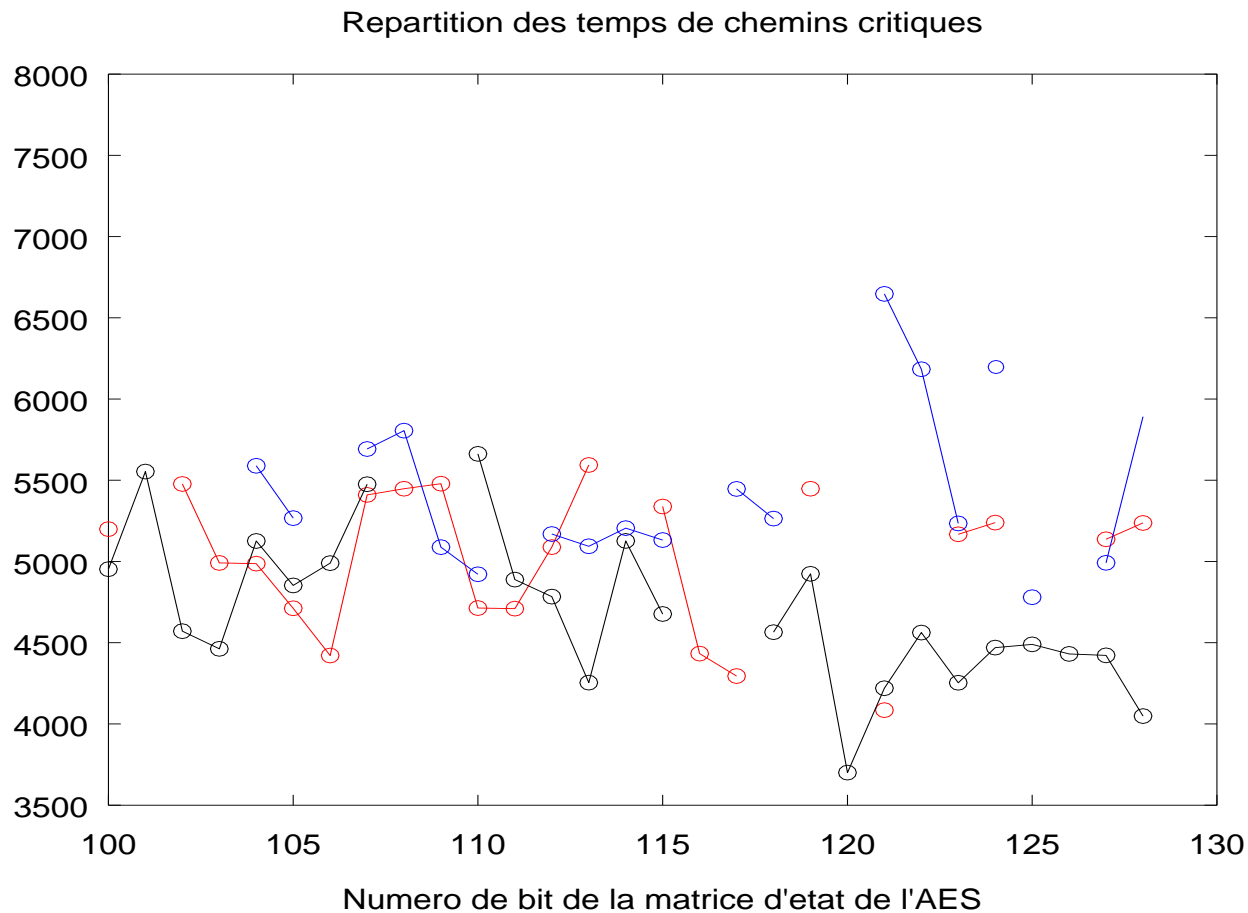
Comparaison sans CTM/ CTM n°1/ CTM n°2 pour les bits [100-128]

(en noir : sans CTM, en rouge : CTM n°1)



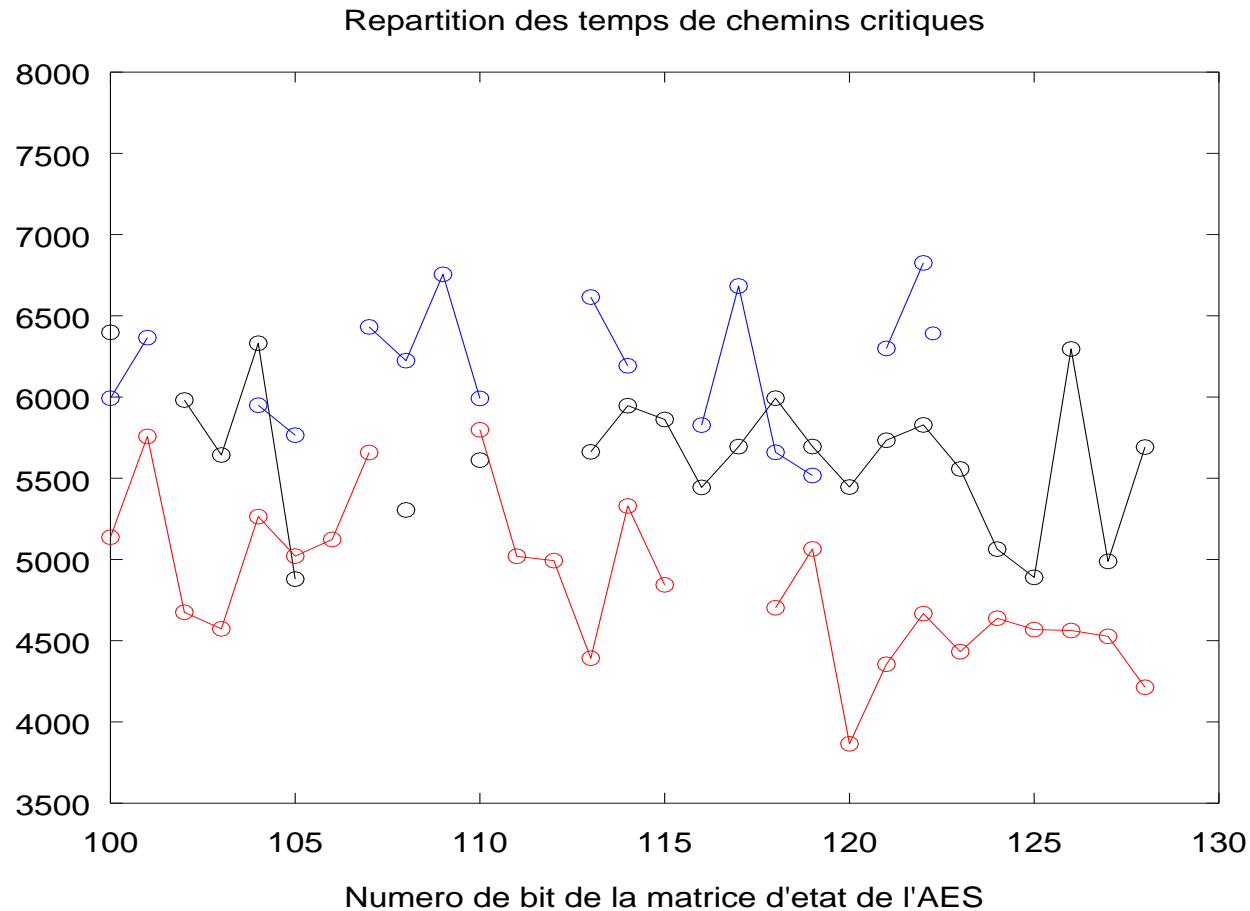
Comparaison sans CTM/ CTM n°1/ CTM n°2 pour les bits [100-128]

(en noir : sans CTM, en rouge : CTM n°1, en bleu : CTM n°2)



Comparaison sans CTM/ CTM n°1/ CTM n°2 pour les bits [60-80]

(en noir : sans CTM, en rouge : CTM n°1, en bleu : CTM n°2)



Introduction

Caractérisation d'un CTM par mesure de temps de chemin de propagation

Mesure des temps de chemin de propagation sur l'AES

Mise en œuvre, premières observations

Perspectives

- Caractérisation un AES grâce à la distribution des temps associé à chaque bit de l'AES.
- Le rajout d'un CTM a une influence sur la distribution de temps de chemins critiques.
- Les variations dues à certains facteurs (changement de FPGA, d'option, etc.) ont une influence sur le temps de chemins critiques, mais ne remettent pas en cause la validation de l'outil.
- Cette étude a permis de nouvelles approches quant à la détection de CTM. On distingue des nouveaux critères d'analyses :
 - La liste des bits non détectés
 - L'ordre des bits détectés
 - Le nombre de bits détectés
- Possibilité de détecter une resynthèse.
- Limites : CTM placé dans un chemin « non-critique court ».

**Merci
pour
votre
attention**



Commissariat à l'énergie atomique et aux énergies alternatives
Centre de Saclay | 91191 Gif-sur-Yvette Cedex

Etablissement public à caractère industriel et commercial | RCS Paris B 775 685 019